

## ANATOMIA DA MADEIRA DE *ESCALLONIA MEGAPOTAMICA* SPRENGEL<sup>1</sup>

JOSÉ NEWTON CARDOSO MARCHIORI<sup>2</sup> LUCIANO DENARDI<sup>3</sup>

### RESUMO

A anatomia da madeira de *Escallonia megapotamica* Sprengel é descrita e ilustrada com fotomicrografias, sendo os caracteres microscópicos comentados com base em referências da literatura.

Palavras-chave: Anatomia da Madeira, Escalloniaceae, *Escallonia megapotamica*.

### ABSTRACT

The wood anatomy of *Escallonia megapotamica* Sprengel is described and illustrated with photomicrographs, being the microscopic features commented with respect to references from the literature.

Key words: Wood Anatomy, Escalloniaceae, *Escallonia megapotamica*.

### INTRODUÇÃO

Restrito à América do Sul, o gênero *Escallonia* Mutis ex L. f. compreende 39 espécies de árvores e arbustos (Sleumer, 1968), distribuídas pelos Andes e sul do Brasil, motivo pelo qual é incluído entre os elementos andinos (Rambo, 1949, 1951) ou anfichaquenhos (Waechter, 2002).

O gênero apresenta 8 espécies em Santa Catarina (Klein & Reitz, 1985), em sua maioria na zona da matinha nebulosa e borda oriental do planalto. No Rio Grande do Sul, o número de espécies reduz-se a quatro (Marchioretto, 1992) e, no Uruguai, a apenas duas (Lombardo, 1964).

A espécie em estudo – *Escallonia megapotamica* Spreng. – é um arbusto ou arvoreta de 1,5 m a 4 m de altura, nativa no sul do Brasil, Uruguai e nordeste da Argentina. Apesar de sua ampla distribuição no Rio Grande do Sul, a espécie habita principalmente matas ciliares e a orla de capões, na Depressão Central, Campanha do Sudoeste e região do Escudo.

A madeira das Escalloniaceae demonstra afinidade com as Grossulariaceae e Hydrangeaceae, sugerindo derivação das Cunoniales (Tippo, 1938). A estrutura anatômica reúne

caracteres muito primitivos, como placas de perfuração escalariformes, pontoações opostas ou escalariformes, elementos vasculares longos a muito longos, parênquima apotraqueal, raios marcadamente heterogêneos e fibras com pontoações distintamente areoladas; os vasos, pequenos, numerosos, tipicamente solitários e com espessamentos espiralados na parede, dispõem-se freqüentemente em múltiplos oblíquos ou radiais (Metcalf & Chalk, 1972; Record & Hess, 1949). Para *Escallonia arguta* Presl., Wagemann (1948) refere poros quase sempre solitários e de forma oval, muito numerosos (150-250/mm<sup>2</sup>) e com diâmetro médio de 35 μm; elementos vasculares de 300 a 600 μm, com placas de perfuração simples e oblíquas; raios freqüentes (10/mm), com 1 a 4 células de largura; e fibras de 500 a 1000 μm de comprimento, providas de pontoações areoladas.

### MATERIAL E MÉTODOS

O material estudado consiste de uma amostra de madeira e respectivo material botânico, procedente de Canguçu, Rio Grande do Sul, anexados à Xiloteca e Herbário do Departamento

<sup>1</sup> Artigo recebido em 25/11/2004 e aceito para a publicação em 30/03/2005.

<sup>2</sup> Engenheiro Florestal, Dr., Professor Titular do Departamento de Ciências Florestais, Centro de Ciências Rurais, Universidade Federal de Santa Maria, CEP 97105-900, Santa Maria (RS). balduinia@mail.ufsm.br

<sup>3</sup> Engenheiro Florestal, M.Sc., Acadêmico do Programa de Pós-Graduação em Engenharia Florestal, Centro de Ciências Rurais, Universidade Federal de Santa Maria, CEP 97105-900, Santa Maria (RS). lucianodenardi@yahoo.com.br

de Ciências Florestais da Universidade Federal de Santa Maria (HDCF), com o número 3219.

A identificação botânica foi confirmada pelo exame da literatura especializada e mediante comparação com outras exsicatas da espécie, conservadas no HDCF.

Da amostra de madeira, foram confeccionados três corpos de prova com 2 cm de lado, extraídos da porção mais externa do lenho e orientados para a obtenção de cortes histológicos nos planos transversal, longitudinal radial e longitudinal tangencial. Um quarto bloco foi também retirado, com vistas à maceração.

No preparo de lâminas, seguiu-se a técnica padrão no Laboratório de Anatomia da Madeira da Universidade Federal do Paraná: os corpos de prova foram amolecidos por fervura em água e seccionados em micrótomo de deslize, regulado para a espessura nominal de 18  $\mu\text{m}$ . Os cortes foram tingidos com acridina-vermelha, crisoidina e azul-de-astra (Dujardin, 1964), desidratados em série alcoólica crescente (30%, 50%, 70%, 90% e duas vezes álcool absoluto), diafanizados em xilol e montados em lâminas permanentes, com "Entellan".

Para a maceração, seguiu-se o método de Jeffrey (Burger & Richter, 1991), sendo a pasta resultante tingida com solução aquosa de safranina 1%. A desidratação, diafanização e montagem de lâminas permanentes seguiram o anteriormente descrito, com a diferença de que as duas primeiras etapas foram desenvolvidas sobre papel de filtro.

A descrição microscópica da madeira seguiu as normas da COPANT (1973), com as alterações introduzidas por Burger (1979) e Marchiori (1980). Foram feitas 30 medições de cada característica anatômica, com exceção da percentagem de vasos, parênquima axial, raios e fibras, bem como das distintas classes de raio quanto à largura em número de células.

As fotomicrografias foram tomadas em aparelho Carl Zeis, no Laboratório de Anatomia da Madeira da Universidade Federal do Paraná.

## DESCRIÇÃO MICROSCÓPICA

**Vasos:** Extremamente numerosos (250–377–450 poros/ $\text{mm}^2$ ), em distribuição difusa, uniforme (Figura 1a), ocupando 17 % da seção transversal da madeira. Poros extremamente pequenos a muito pequenos (17–26–37  $\mu\text{m}$ ), solitários, de seção poligonal (Figura 1a,b) e com paredes de 1,2–2,4–3,7  $\mu\text{m}$  de espessura. Elementos vasculares curtos a muito longos (400–580–790  $\mu\text{m}$ ), com apêndices curtos (12–51–150  $\mu\text{m}$ ) e espessamentos espiralados na parede. Placas de perfuração escalariformes, geralmente verticais e com menos de vinte barras (Figura 1d). Pontoações intervasculares opostas, pequenas até grandes (6–8,2–15,5  $\mu\text{m}$ ), mas pouco freqüentes, devido ao escasso contato de vasos. Pontoações rádio-vasculares e parênquima-vasculares pequenas e arredondadas, inferiores a 10  $\mu\text{m}$  (Figura 1d). Gomas, resinas, tilos e outros conteúdos, ausentes nos poros.

**Parênquima axial:** Apotraqueal difuso, ocupando cerca de 14% da seção transversal da madeira. Células parenquimáticas retangulares, com cerca de 167  $\mu\text{m}$  de comprimento e 14  $\mu\text{m}$  de largura, dispostas em séries verticais não estratificadas.

**Raios:** Muito numerosos (23/mm), ocupando cerca de 24% da madeira. Tecido radial heterogêneo Tipo I (Figura 1c, 2a). Raios unisseriados muito abundantes (43 %), com 1–3–8 células e 239  $\mu\text{m}$  de altura, por 11  $\mu\text{m}$  de largura. Raios multisseriados, em sua maioria trisseriados (42% do total), menos comumente bisseriados (9%) e tetrasseriados (5%); variam de baixos a altos (187–555–1232  $\mu\text{m}$ ), com 10–16–33 células de altura e de muito finos a finos (20–32–47  $\mu\text{m}$ ); raios com mais de 4 células de largura, extremamente raros (Figura 2a,b).

**Fibras:** Tecido fibroso proeminente (43%), composto por fibrotraqueídeos (Figura 1d) extremamente curtos até muito curtos (580–871–1020  $\mu\text{m}$ ), estreitos (11–16–19  $\mu\text{m}$ ) e com paredes espessas, de 3,7–4,7–6,3  $\mu\text{m}$  (Figura 1b).

**Outras características:** Anéis de crescimento fracamente demarcados por fibras estreitas.

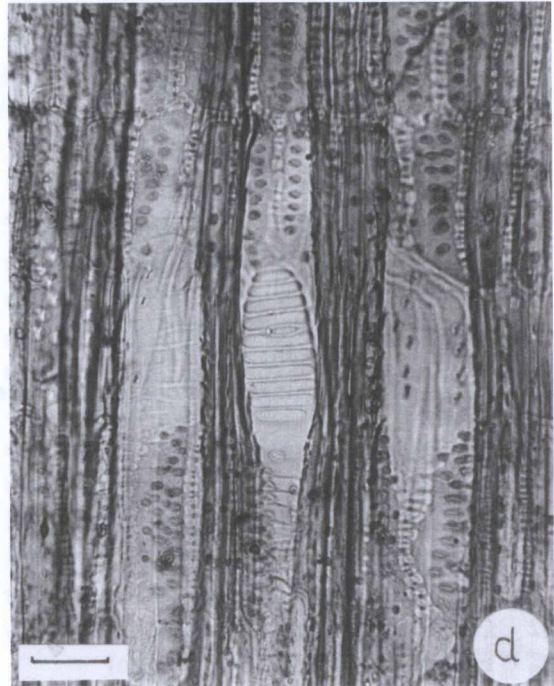
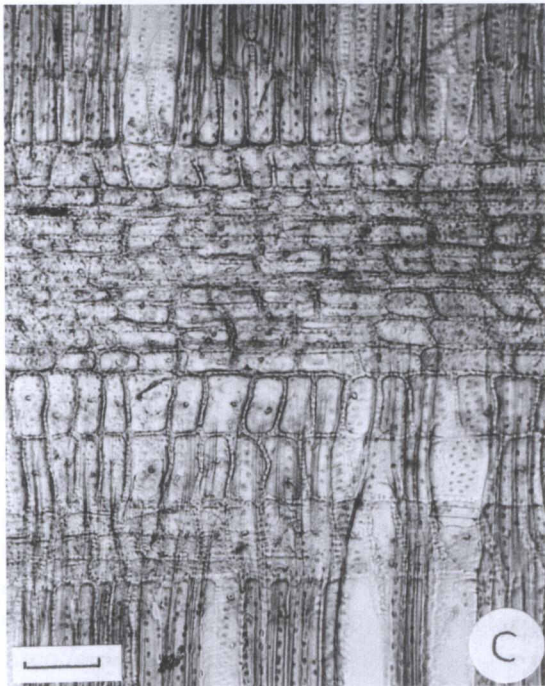
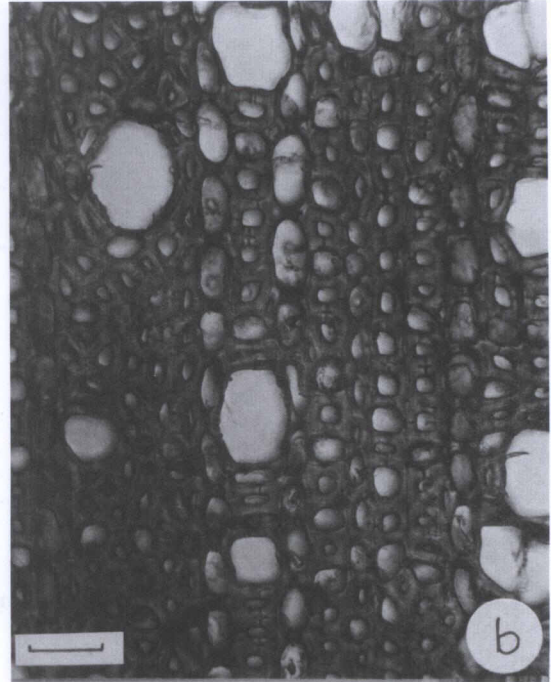
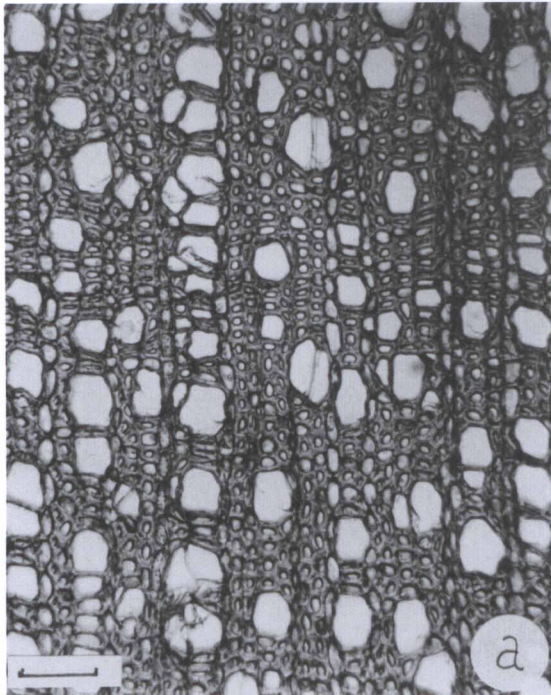


FIGURA 1 – Vasos em distribuição difusa, uniforme, em seção transversal (a). Poros pequenos, de contorno poligonal e fibras de paredes espessas, em seção transversal (b). Raios heterogêneos, com células procumbentes, quadradas e eretas, em seção longitudinal radial (c). Fibrotraqueídeos com pontoações areoladas, placa de perfuração escalariforme e pontoações parênquima-vasculares pequenas e arredondadas, em seção longitudinal radial (d). Escalas = 50  $\mu$ m (a, c); 100  $\mu$ m (b, d).

TABELA 1: Dados quantitativos do lenho.

n°	Característica anatômica	mín.	média	máx.	cv.(%)
1	Fração de poros (%)	14,0	17,0	22,0	21,3
2	Frequência de poros (poros/mm <sup>2</sup> )	250	377	450	15,4
3	Ø de poros ( $\mu\text{m}$ )	22,5	31,1	42,5	15,4
4	Ø do lume dos poros ( $\mu\text{m}$ )	17,5	26,3	37,5	17,4
5	Espessura da parede dos poros ( $\mu\text{m}$ )	1,2	2,4	3,7	25,0
6	Comprimento de elementos vasculares ( $\mu\text{m}$ )	400,0	580,3	790,0	16,0
7	Comprimento de apêndices ( $\mu\text{m}$ )	12,5	50,9	150,0	62,9
8	Ø das pontoações inter-vasculares ( $\mu\text{m}$ )	6,0	8,2	15,5	26,5
9	Ø das pontoações rádio-vasculares ( $\mu\text{m}$ )	5,0	5,7	7,0	11,4
10	Ø das pontoações parênquima-vasculares ( $\mu\text{m}$ )	4,5	5,2	6,0	7,7
11	Fração de parênquima axial (%)	8,0	14,7	20,0	27,1
12	Altura das células de parênquima axial ( $\mu\text{m}$ )	120,0	167,6	255,0	17,0
13	Largura das células de parênquima axial ( $\mu\text{m}$ )	10	14,6	17,5	14,3
14	Fração de raios (%)	20,0	24,2	29,0	12,9
15	Frequência de raios (raios/mm)	21	23	26,0	5,9
16	Fração de raios unisseriados (%)	36,0	43,3	56,0	17,4
17	Altura de raios unisseriados ( $\mu\text{m}$ )	62,5	239,0	715,0	54,8
18	Altura de raios unisseriados (células)	1	3	8	52,0
19	Largura de raios unisseriados ( $\mu\text{m}$ )	7,5	11,0	15,0	15,9
20	Altura de raios multisseriados ( $\mu\text{m}$ )	187,5	555,8	1232,5	41,0
21	Altura de raios multisseriados (células)	10	16	33	38,9
22	Largura de raios multisseriados ( $\mu\text{m}$ )	20,0	32,4	47,5	18,6
23	Largura de raios multisseriados (células)	2	4	6	24,5
24	Altura da parte multisseriada dos raios ( $\mu\text{m}$ )	12,5	233,4	475,0	43,9
25	Altura da parte multisseriada dos raios (células)	3	11	24	41,9
26	Fração de raios bisseriados (%)	8,0	9,3	11,0	12,9
27	Fração de raios trisseriados (%)	31,0	42,5	52,0	17,9
28	Fração de raios tetraseriados (%)	1,0	4,8	9,0	59,4
29	Fração de fibras (%)	37,0	43,4	54,0	12,7
30	Comprimento de fibras ( $\mu\text{m}$ )	580,0	871,6	1020,0	11,8
31	Ø total das fibras ( $\mu\text{m}$ )	11,2	15,9	18,8	13,6
32	Ø do lume das fibras ( $\mu\text{m}$ )	2,5	6,3	8,8	27,9
33	Espessura da parede das fibras ( $\mu\text{m}$ )	3,7	4,7	6,3	15,7

mín. = valor mínimo; máx. = valor máximo; cv = coeficiente de variação;  $\mu\text{m}$  = micrômetros;  $\varnothing$  = diâmetro.

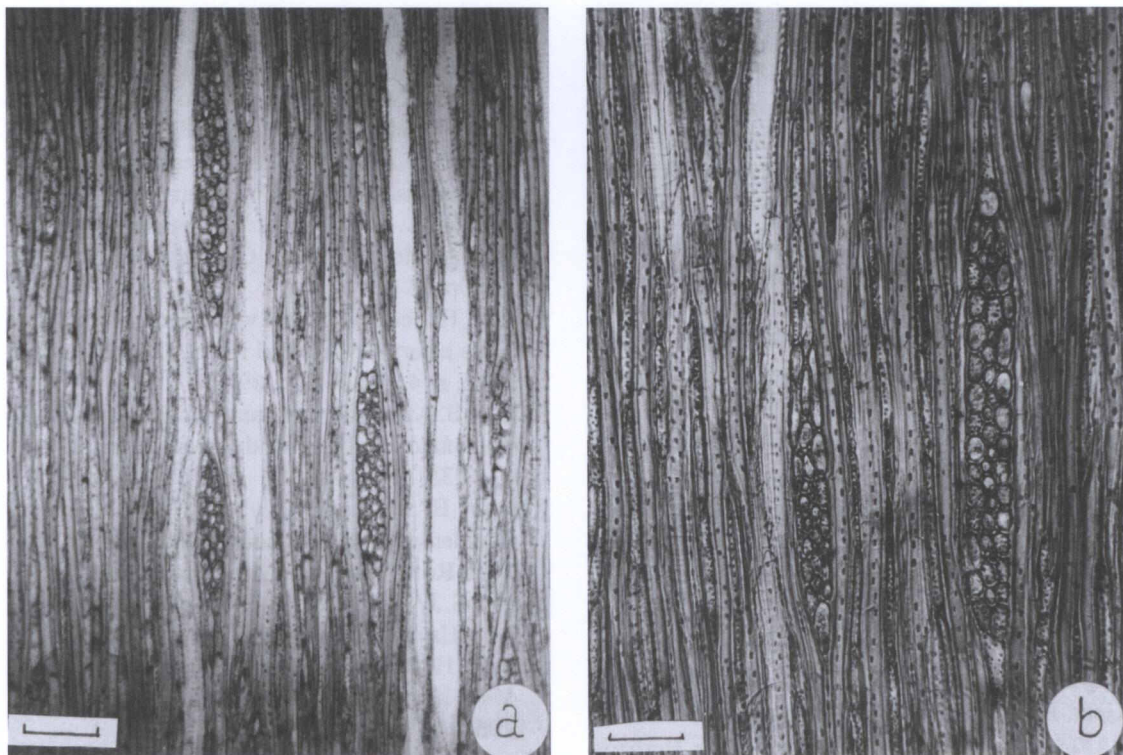


FIGURA 2 – Raios unisseriados abundantes; raios multisseriados com 2-4 células de largura (Escala = 32  $\mu\text{m}$ ) (a). Mesmos aspectos, em maior aumento (Escala = 50  $\mu\text{m}$ ) (b).

#### ANÁLISE DA ESTRUTURA ANATÔMICA

As principais características anatômicas da madeira de *Escallonia megapotamica*, tais como poros pequenos, numerosos, solitários e em distribuição difusa, com placas de perfuração escalariformes e espessamentos espiralados na parede, assim como a presença de elementos vasculares com pontoações opostas, de parênquima apotraqueal, de raios heterogêneos e de fibras com pontoações areoladas, concordam com o descrito por Metcalfe & Chalk (1972) e Record & Hess (1949), para o gênero *Escallonia* Mutis ex L. f.

A frequência de poros, todavia, é nitidamente maior na espécie em estudo (250–450 poros/ $\text{mm}^2$ ) do que o referido, por Wagemann (1948), para *Escallonia arguta* (150–250 poros/ $\text{mm}^2$ ).

Vale lembrar que a frequência, bem como diâmetro de poros, são aspectos sensivelmente afetados por fatores ambientais, principalmente no que se refere à disponibilidade hídrica (Baas & Carlquist, 1985, Lindorf, 1994, Denardi, 2004). A frequência de raios em *E. megapotamica* (23 raios/mm) também difere consideravelmente do referido para *E. arguta* (10 raios/mm). Com relação ao comprimento de fibras, ao contrário, foram presentemente encontrados valores muito próximos dos obtidos para a referida espécie chilena.

#### BIBLIOGRAFIA

Baas, P., Carlquist, S. A comparison of the ecological wood anatomy of the floras of southern California and Israel. *IAWA Bull.*, v. 6, n. 4, p. 349-353, 1985.

- Burger, L. M. **Estudo anatômico do xilema secundário de sete espécies nativas do gênero *Dalbergia* Leguminosae-Faboideae.** Curitiba: UFPR, 1979. 184f. Dissertação (Mestrado em Engenharia Florestal)-Universidade Federal do Paraná.
- Burger, L. M. & Richter, H. G. **Anatomia da Madeira.** São Paulo: Ed. Nobel, 1991. 154 p.
- Copant – Comissão Panamericana de Normas Técnicas. **Descrição macroscópica, microscópica e geral da madeira** – esquema I de recomendação. Colômbia, 1973. 19p. (COPANT 30).
- Denardi, L. **Estudo anatômico do lenho e morfologia foliar de *Blepharocalyx salicifolius* (H. B. K.) Berg, em duas regiões do Rio Grande do Sul.** Santa Maria: UFSM, 2004. 94f. Dissertação (Mestrado em Engenharia Florestal)-Universidade Federal de Santa Maria.
- Dujardin, E. P. Eine neue holz-zellulosenfaerbung. **Mikrokosmos**, n. 53, p. 94, 1964.
- Klein, R.M., Reitz, R. Saxifragáceas. In: Reitz, R. **Flora Ilustrada Catarinense.** Itajaí: Herbário Barbosa Rodrigues, p. 3-43, 1985.
- Lombardo, A. **Flora arborea y arborescente del Uruguay.** Montevideo: Concejo Departamental, 1964. 151 p.
- Marchioretto, M. S. O gênero *Escallonia* Mutis ex Linnaeus filius (Saxifragaceae) no Rio Grande do Sul. **Pesquisas, Botânica, São Leopoldo**, n. 43, p. 223-250, 1992.
- Marchiori, J. N. C. **Estudo anatômico do xilema secundário de algumas espécies dos gêneros *Acacia* e *Mimosa*, nativas no Estado do Rio Grande do Sul.** Curitiba: UFPR, 1980. 186f. Dissertação (Mestrado em Engenharia Florestal)-Universidade Federal do Paraná.
- Metcalf, C. R., Chalk, L. **Anatomy of the Dicotyledons.** Oxford: Clarendon Press, 1972. 1500p.
- Lindorf, H. Eco-anatomical wood features of species from a very dry tropical forest. **IAWA Journal**, v. 15, n. 4, p. 361-376, 1994.
- Rambo, B. A flora de Cambará. **Anais Botânicos do Herbário Barbosa Rodrigues**, Itajaí, n. 1, p. 111-135, 1949.
- Rambo, B. O elemento andino no pinhal rio-grandense. **Anais Botânicos do Herbário Barbosa Rodrigues**, Itajaí, n. 3, p. 3-39, 1951.
- Record, S. J., Hess, R. W. **Timbers of the New World.** New Haven: Yale University Press, 1949. 639p.
- Sleumer, H. Die gattung *Escallonia* (Saxifragaceae). **Verh. K. Akad., Afd. Natuurke.**, n. 58, p. 1-146, 1968.
- Tippo, O. Comparative anatomy of the Moraceae and their presumed allies. **Botanical Gazette**, n. 100, p. 1-99, 1938.
- Waechter, J.L. Padrões geográficos na flora atual do Rio Grande do Sul. **Ciência & Ambiente**, Santa Maria, n. 24, p. 93-108, 2002.
- Wageman, G. Maderas Chilenas: Contribucion a su anatomia e identificacion. **Lilloa**, Tucuman, v. 16, p. 263-375, 1948.